

# Meteorologija

## Meteorology

## STARsci modelio pritaikymas Kauno MS iðmatuotø eriteminës spinduliuotës rodikliø kalibracijai

Judita Liukaitytë, Egidijus Rimkus

Vilniaus universitetas El. paštas: Judita.Liukaityte@gf.vu.lt

### ÁVADAS

UV spinduliuotë yra trumpesniame nei 400 nm bangø ilgio diapazone. Ji sudaro tik kelis procentus visos þemës pavirðio pasiekianëios spinduliuotës, bet dël bangos trumpumo vieno UV protono energija gali ntruauti cheminá ryða tarp ávairio molekulio. Taigi UV stipriai veikia biomolekules ir tai turi rimbø padariniø gyviems organizmams (Caldwell ir kt., 1998; Hader ir kt., 1998; Longstreth ir kt., 1998).

UV spinduliuotë susilpnëja prie þemës pavirðiaus dël to, kad ozonas absorbuoja jà troposferoje ir stratosferoje. Taèiau dël plonëjanëio ozono sluoksnio UV spinduliuotës kiekis prie þemës pavirðiaus pastaraisiais metais iðauga (Bojkov ir kt., 1990; Stolarski ir kt., 1991; Neuendorfer, 1996; WMO, 1999). UV spinduliuotës veikia ir kiti atmosferos komponentai, ið jo svarbiausi yra aerosoliø dalelës ir debesuotumas, nemaiplau reikðmingas pavirðiaus albedas ir vietovës aukðtis virð jûros lygio. Visø ðiø komponentø poveikis priklauso nuo saulës zenito kampo, jis nulemia UV spinduliuotës intensyvumo pasiskirstymà pagal bangos ilgá (Koepke, Reuder, Schwander, 2002).

Ultravioletinë spinduliuotë yra vienas ið aplinkos veiksniø, labai svarbiø þmogui. Tai buvo þinoma jau daugelá metø (Riemerschmid, 1938; Blum, 1948), taèiau labiau susidomëta tik pastaraisiais deðimtmeèiais (De Gruji, der Leun, 1994; Elwood, Jopson, 1997), kai suplonëjo stratosferinio ozono sluoksnis ir padaugëjo odos vëþio susirginë. Dël ðiø prieþasèiø iðkilo poreikis suteikti þmonëms daugiau informacijos apie UV spinduliuotë.

Ultravioletinis bangø diapazonas dar yra skirstomas á tris dalis: UVA, UVB ir UVC. Taip pat UV spektre iðskiriama eriteminë radiacija, esanti 280-320 nm bangos ilgyje (artima UVB) bei daranti stiprø fiziologiná poveiká.

Pastaruoju metu daugiau dëmesio yra skiriama ir UV spinduliuotës matavimams. Ji yra matuojama daugelyje pasaulio vietø su plaëiabangiais bei spektriniiais radiometrais ir skaièiuojama spinduliuotës per davimo modeliais (Kerr, Seckmyer, 2003).

Lietuvoje UV pradëta matuoti 2000 m. Kauno meteorologijos stotyje. Taip pat jau keleri metai yra sudarinëjamos UV indeksø prognozës.

Ðio darbo tikslas yra Kauno meteorologijos stotyje iðmatuotø eriteminës spinduliuotës rodikliø kalibracija.

### DARBE NAUDOJAMI DYDPIAI

Šiame skyriuje paaiðkinami kai kurie darbe nau dojam dydþiai ir terminai.

$E_{sky}(\lambda)$  – „tikroji“ (reali) eriteminio veikimo spek tro spinduliuotë, patenkanti ið saulës ir dangaus skliauto, matuojama ( $\text{W/m}^2\text{nm}$ ):

$$E_{sky} = \int E_{sky}(\lambda) \times \text{CONST}_{ery} \times S_{ery}(\lambda) \times d\lambda = \int E_{sky}(\lambda) \times S_{ery}(\lambda) \times d\lambda. \quad (1)$$

$E_{mod}(\lambda)$  – eriteminio spekstro spinduliuotë, patenkanti ið saulës ir dangaus skliauto ( $\text{W/m}^2\text{nm}$ ), sumodeliuota idealiomis matavimo sàlygomis,  $\text{CONST}_{ery} = 1$ :

$$E_{mod} = \int E_{mod}(\lambda) \times \text{CONST}_{ery} \times S_{ery}(\lambda) \times d\lambda = \int E_{mod}(\lambda) \times S_{ery}(\lambda) \times d\lambda. \quad (2)$$

$E_{modslmax}(\lambda)$  ir  $E_{modslmin}(\lambda)$  – eriteminio spekstro spinduliuotë, patenkanti ið saulës ir dangaus skliauto ( $\text{W/m}^2\text{nm}$ ), sumodeliuota naudojant maksimalaus (minimalaus) spektrinio ir kampinio prietaiso jutiklio jautrumo reiksmës:

$$E_{modslmax} = \int E_{mod}(\lambda) \times \text{CONST}_{slmax} \times S_{slerymax}(\lambda) \times d\lambda = \text{CONST}_{slmax} \times \int E_{mod}(\lambda) \times S_{slerymax}(\lambda) \times d\lambda; \quad (3)$$

$$E_{modslmin} = \int E_{mod}(\lambda) \times \text{CONST}_{slmin} \times S_{slerymax}(\lambda) \times d\lambda = \text{CONST}_{slmin} \times \int E_{mod}(\lambda) \times S_{slerymin}(\lambda) \times d\lambda. \quad (4)$$

$S_{ery}(\lambda)$  – eriteminio veikimo spekstro CIE (Commission Internationale de l'Éclairage) funkcija, naudo-

jama (1) ir (2) formulëse, tiek sumodeliuotai, tiek iðmatuoti spinduliuotei su „idealiu“ (pagal kosinusoïdës dësnâ) kampiniu jutiklio jautrumu. CIE veikimo spektras, sumodeliuotas pagal kaukazietiðko tipo odos jautrumà álegimui ir pasiûlytas A. McKinlay bei B. Diffey (1987), buvo priimtas Tarptautinës iluminacijos komisijos kaip standartinis (WMO, 1999).

$S_{\text{slerymax}}(\lambda)$  ir  $S_{\text{slerymin}}(\lambda)$  – spektrinio jautrumo funkcija su prietaiso pase nurodytu maksimaliu (minimaliu) spektriniu ir kampiniu jutiklio jautrumu.

$\text{CONST}_{\text{slmax}}$  ir  $\text{CONST}_{\text{slmin}}$  – konstantos, parodanèios naudoto biometro absoluto jautrumà esant maksimaliam (minimaliam) spektriniam jautrumui.

$\text{CONST}_{\text{ery}}$  – absoliuti jautrumo konstanta pagal CIE. Ji yra lygi 1.

MED – minimali eriteminë dozë. Dis dydis priklauso nuo odos tipo.

MED/h – UV spinduliuotës kiekis. Analizuojamu atveju tai:

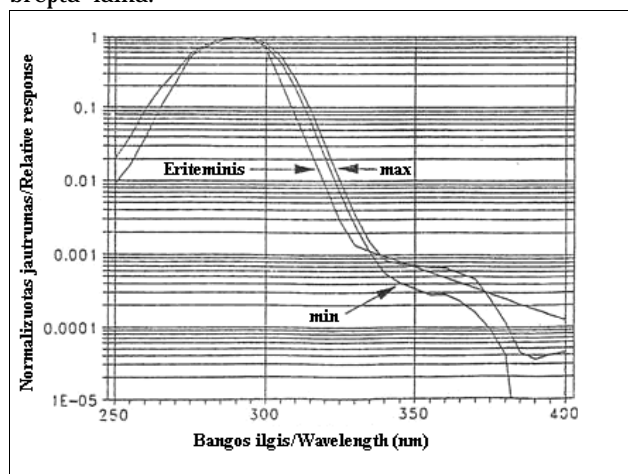
$$1\text{MED}/\text{h} = 0,058333 \text{ W/m}^2. \quad (5)$$

## DUOMENYS IR DARBO METODIKA

Diame darbe naudojami 2001–2002 m. Kauno meteorologinës stoties eriteminës spinduliuotës paros maksimumo duomenys (MED/h), gauti ið Hidrometeorologijos tarnybos archyvø. Sudarant kalibracijos matrica buvo naudojamas STARsci modelis (Liukaitytë, Rimkus, 2004).

Kauno meteorologijos stotje UV spinduliuotë matuojama UV biometru 501-A. Tai vienas ið Robertsono-Bergerio hermetizuotë prietaisø, visame pasauliye naudojamø UV monitoringui. UV biometro 501-A spektrinis jautumas yra artimas eriteminiams (UV biometras..., 2000).

Biologinis UV spinduliuotës poveikis yra matuojamas MED/h. Biologiðkai aktyvi dozë yra nustatoma integruojant biologiðkai aktyvià energijà per apibrëþta laikà.

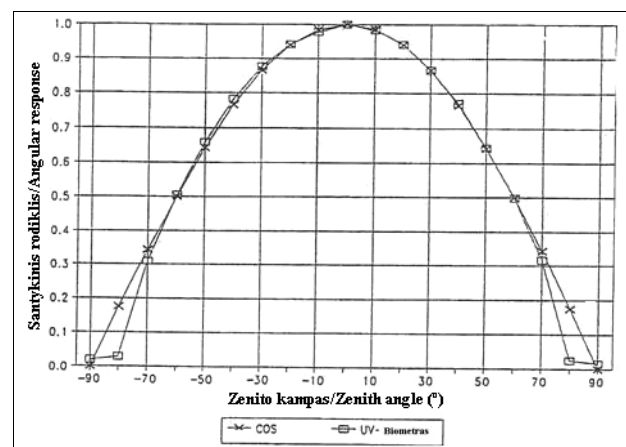


1 pav. UV biometro 501-A spektrinis jautumas (UV biometras..., 2000)

Fig. 1. Spectral response of UV biometer 501-A (UV biometras..., 2000)

UV biometro pradiná kalibravimà atlieka gamintojas. Prietaisas matuoja saulës spinduliuotës biologinà aktyvumà pagal CIE veikimo spektrà. Jutiklis kalibruojamas giedru oru, kai saulës zenito kampus –  $< 30^\circ$ , bendras ozono kiekis – 270 DU (Dobsono vienetø), o jutiklio temperatûra –  $25^\circ\text{C}$  (UV biometras..., 2000).

Darbe naudojami duomenys apie prietaiso spektriná (1 pav.) ir kampiná (2 pav.) jutiklio jautrumà yra gauti ið UV biometro naudojimo vadovo. Jame pateiktos vidutinës ðio tipo instrumentø reikðmës. Pasaulinës meteorologijos organizacijos ataskaitoje matome, kad ávairùs instrumentai turi labai skirtingà kampiná jutiklio jautrumà, nustatyta kalibracijos metu (Bais ir kt., 1999).



2 pav. UV biometro 501-A kampinis jutiklio jautumas (UV biometras..., 2000)

Fig. 2. Angular response of UV biometer 501-A (UV biometras..., 2000)

Pagrindinë problema, atliekant biometrø kalibracijà, yra ta, kad jo spektrinis jautumas skiriasi nuo CIE veikimo spektro. Diuo atveju nëra þinomas ir tikslus Kauno MS naudojamo prietaiso spektrinis ir kampinis jautumas. Prietaiso naudojimo vadove pateikiama minimalios ir maksimalios spektrinio jautumo reikðmës, tad pagal jas buvo atliekami visi pradiniai skaiðiavimai. Dvi kampinio jutiklio jautumo reikðmës, esant vienodam saulës zenito kampui (ryte ir vakare), buvo suvidurkintos (2 pav.).

Absoliutus prietaiso jautumas taip pat nëra þinomas, nes rezultatai pateikiama kaip absoliutus iðmatuotas dydis, o ne kaip dydis, priklausantis nuo jautumo. Todël pirmoji prielaida yra ta, kad  $\text{CONST}_s = \text{CONST}_{\text{slmax}} = \text{CONST}_{\text{slmin}} = 1$  (kaip kad tai yra  $\text{CONST}_{\text{ery}}$ ), o spektrinio veikimo spektro funkcijos  $S_{\text{slerymax}}(\lambda)$  ir  $S_{\text{slerymin}}(\lambda)$  reikðmës lygios 1.

Pirmausiai reikia sudaryti kalibracijos matrica, apibûdinanèia santykà tarp „tikrosios“ ir iðmatuotos spinduliuotës. Dis atsiranda dël prietaiso spektrinio ir kampinio jautumo ypatumø: jie skiriasi atitinkamai nuo CIE spektro ir idealios kosinusoidës. Skaiðiavimai buvo atliekami su STARsci modeliu esant ávairoioms atmosferos sàlygomis. Atlie-

kant kalibracijà buvo naudoti tokie modelio ávesties duomenys:

1. *Saulës zenito kampas.* Buvo skaièiuojamos visos galimos reikðmës nuo 10 iki 90 laipsniø, kas 10°.

2. *Atmosférø slégis jûros lygyje.* Buvo naudojama 1000 hPa reikðmë – apytikslë vidutinë slégio reikðmë mûsø platumose.

3. *Aerozoliø tipas.* Vidutinis kontinentinis bei ðvarus kontinentinis, kai aerozoliø optinis tankis (AOD) 550 nm bangose atitinkamai yra 0,2 ir 0,1. Tokios reikðmës buvo pasirinktos atsiþvelgiant á stoties padëtâ ir aplink esanèiâ aplinkâ.

4. *Vietovës albedas.* Buvo pasirinktos skirtinės albedo reikðmes UV spektro srityje: 3%, 10%, 20%, 50% ir 80%.

5. *Aukðtis virð jûros lygio.* Stoties aukðtis virð jûros lygio yra 76 m, o prietaiso aukðtis – 84,5 m. Modelyje tai paverëiama kilometrais – 0,085 km.

6. *Atmosferos paribio sluoksnio storis* – 1,5 km. Toks vidutinis paribio sluoksnio storis bûna vasarà.

7. *Bendras ozono kiekis.* Buvo skaièiuojamas 200–500 DU reikðmëms kas 50 DU.

8. *Vertikalus temperatûros ir drëgmës profilis.* Temperatûros ir drëgmës skiltyse galima pasirinkti po du vertikalius profilius – vasaros ir þiemos, taëiau ðiuo atveju buvo rinktasi tik vasaros.

Skaièiavimai buvo atliekami tris kartus su tais paëiais ávesties duomenimis, bet su skirtingu spektriniu ir kampiniu jutiklio jautrumu:

1) su prietaiso naudojimo vadove pateikiamu minimaliu spektriniu ir kampiniu jutiklio jautrumu;

2) su prietaiso naudojimo vadove pateikiamu maksimaliu spektriniu ir kampiniu jutiklio jautrumu;

3) su CIE spektro jautrumu ir atitinkama kosinusoidës reikðme.

Santykis tarp „tikrosios“ spinduliuotës ir iðmatuotos, kuris bus naudojamas keiciant matavimo duomenis, buvo skaièiuojamas esant abiems spektrinio jautrumo reikðmëms:

$$CAL = E_{\text{sky}} / E_{\text{skysl}}. \quad (6)$$

Pagrindiniai parametrai, turintys átakos ðiam santykui, yra saulës aukðtis bei ozono koncentracija

Lentelë. **UV biometro absoliutaus jautrumo kalibracijos konstanta**

Table. **Absolute sensivity constant of UV biometer**

Atmosferos sàlygos/Atmosphere parameters				
Absoliutaus jautrumo kalibracijos konstantos/ Absolute sensivity constant	$O_3$ – 280–380DU, $\theta_{\text{SUN}} > 25^\circ$ , AOD – 0,2, albedas/albedo – 3%	$O_3$ – 270DU, $\theta_{\text{SUN}} < 30^\circ$ , AOD – 0,2, albedas/albedo – 3%	$O_3$ – 270DU, $\theta_{\text{SUN}} < 30^\circ$ , AOD – 0,2, albedas/albedo – 10%	$O_3$ – 270DU, $\theta_{\text{SUN}} < 30^\circ$ , AOD – 0,1, albedas/albedo – 3%
<b>CONSTslmax</b>	0,3511	0,3844	0,3850	0,3848
<b>CONSTslmin</b>	0,4724	0,4947	0,4954	0,4952

( $CAL = f(\theta_{\text{SUN}}, O_3)$ ). Saulës aukðtis turi reikðmës kampiniams jutiklio jautrumui ir spektriniams spinduliuotës pasiskirstymui, tuo tarpu ozono koncentracijos kitimas keieia UV spinduliuotës intensyvumà bei daro poveiká spektriniams spinduliuotës pasiskirstymui. Paprastai ðis santykis (6) lygtje pateikiamas kaip kalibracijos matrica, kuri priklauso nuo saulës zenito kampo bei ozono koncentracijos (Schreder, 2005).

Norint sudaryti kalibracijos matricà, reikia ávertinti ir aerozoliø bei albedo poveiká Atsiþvelgiant á tai, kad UV matavimai yra svarbesni vasaros metu, kalibracijos matrica buvo sudaryta vasaros sàlygomis: buvo naudotas aerozoliø optinis tankis 550 nm bangos ilgyje – 0,2, o paviršiaus albedas UV spinduliuotei – 3%, tai yra tipiškas albedas vegetacijos metu.

Naudotas prietaisas matavimo rezultatus pateikia MED/h, kurie buvo paverëiami á W/m² naudojant (5) formulæ, nes modelis rezultatus pateikia W/m².

Naudoto biometro absoliutø jautrumà parodanti konstanta ( $\text{CONST}_{\text{sl}}$ ) nëra þinoma. Siekiant jà gauti, su STARsci modeliu sumodeliuoti eriteminës spinduliuotës dydþiai buvo prilyginami „tikrajai“ UV spinduliuotei, pasiekianèiai þemës pavirðiø, su prielaida, kad  $E_{\text{sky}} = E_{\text{mod}}$ . Vëliau analizuoti skirtumai, atsirandantys tarp sumodeliuotos ir iðmatuotos UV spinduliuotës giedromis dienomis þinomomis atmosferos sàlygomis.

Absoliutus jautrumas yra konstanta, kuri yra išreiðiama kaip santykis tarp „tikrosios“ ir iðmatuotos spinduliuotës:

$$\text{CONST}_{\text{max}} = E_{\text{sky}} / E_{\text{modslmax}} \text{ bei } \text{CONST}_{\text{min}} = E_{\text{sky}} / E_{\text{modslmin}}. \quad (7)$$

Skaièiavimai buvo atliekami esant trimis skirtinëoms atmosferos sàlygomis (lentelë).

Šios kalibracijos konstantos leidþia atskirti skirtinio spektrinio ir kampinio jautrumo daromà poveiká nuo instrumento absoliutaus jautrumo. Pastarasis dydis yra netiesiogiai átrauktas kaip iðmatuotø dydþio  $E_{\text{skyslmax}}$  ir  $E_{\text{skyslmin}}$  kalibracijos rodiklis.

Naudojant absoliutaus jautrumo reikðmæ yra galimybë nustatyti santykiniá nuokrypá tarp iðmatuotos ir „tikrosios“ spinduliuotës, kuris priklauso nuo instru-

mento savybiø, t. y. nuo jo spektrinio bei kampinio jutiklio jautrumo. Őis poveikis yra atvaizduojamas kaip kalibracijos matrica – CAL:

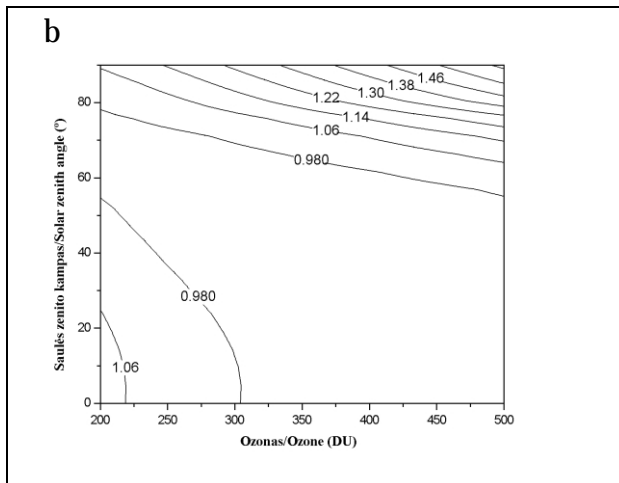
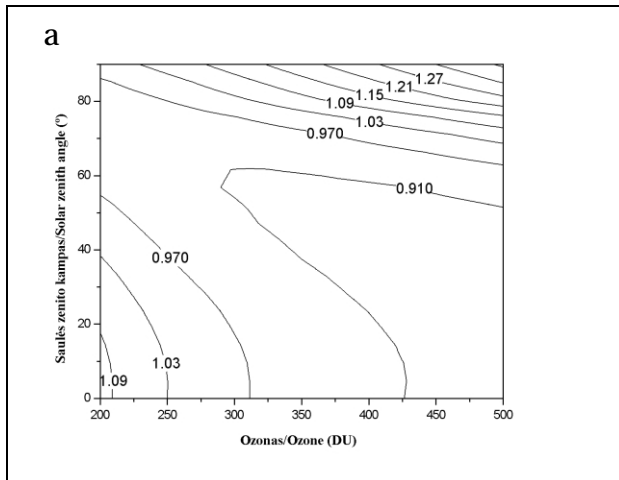
$$\text{CAL} = f(\theta_{\text{SUN}}, O_3). \quad (8)$$

Absoliuèios ir santykinës kalibracijos matricos kombinacija duoda ieðkomà „tikrajà“ spinduliuotæ:

$$E_{\text{sky}} = \text{CAL} \times E_{\text{skysl}} = \text{CAL} \times \text{CONST}_{\text{sl}} \times \int E_{\text{mod}}(\lambda) \times S_{\text{slery}}(\lambda) \times d\lambda. \quad (9)$$

Norint gauti kalibracijos veiksnius, formuojanèius kalibracijos matricà CAL ( $\theta_{\text{SUN}}, O_3$ ), buvo apskaièiuotas santykis esant abiem spektrinio jautrumo reikðmëms ir tai pateikiama grafiðkai:

$$\text{CAL}(\theta_{\text{SUN}}, O_3) = \text{RAT/CONST;} = E_{\text{mod}} / \int E_{\text{mod}}(\lambda) \times S_{\text{slery}}(\lambda) \times d\lambda. \quad (10)$$



**3 pav.** Kalibracijos matrica, kai CONSTsl buvo apskaièiuota esant ðioms atmosferos sàlygoms:  $O_3$  – 270 DU,  $\theta_{\text{SUN}} < 30^\circ$ , AOD – 0,2, albedas – 3%; *a* – su maksimalia, *b* – minimalia spektrinio jautrumo reiksme

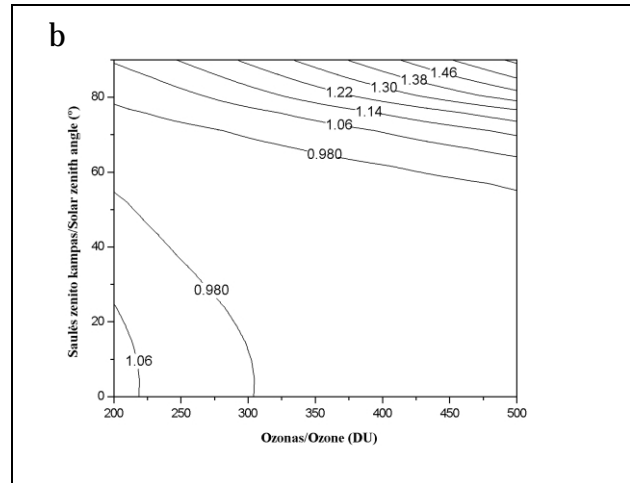
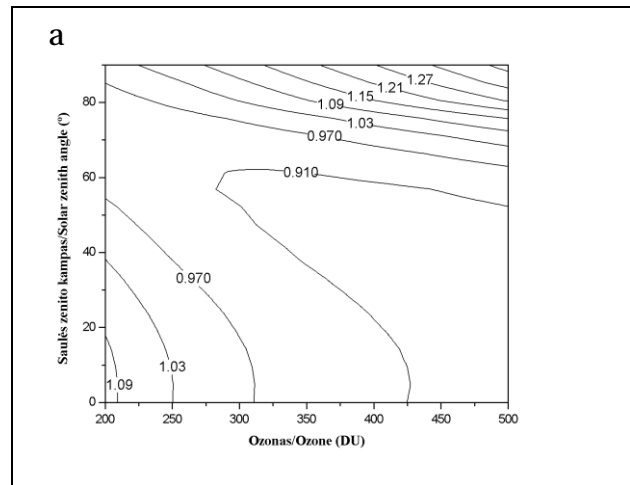
**Fig. 3.** Calibration matrix where CONSTsl was calculated for the following atmospheric characteristics:  $O_3$  – 270 DU,  $\theta_{\text{SUN}} < 30^\circ$ , AOD – 0,2, albedo – 3%, with maximal (*a*) and minimal (*b*) spectral sensitivity

Kadangi nèra þinomas Kauno MS naudojamo instrumento spektrinis jautumas, buvo skaièiuojamas vidurkis tarp maksimaliø ir minimaliø kalibracijos matricos reikðmioø:

$$\text{CAL}(\theta_{\text{SUN}}, O_3) = (\text{CAL}_{\max}(\theta_{\text{SUN}}, O_3) + \text{CAL}_{\min}(\theta_{\text{SUN}}, O_3)) / 2. \quad (11)$$

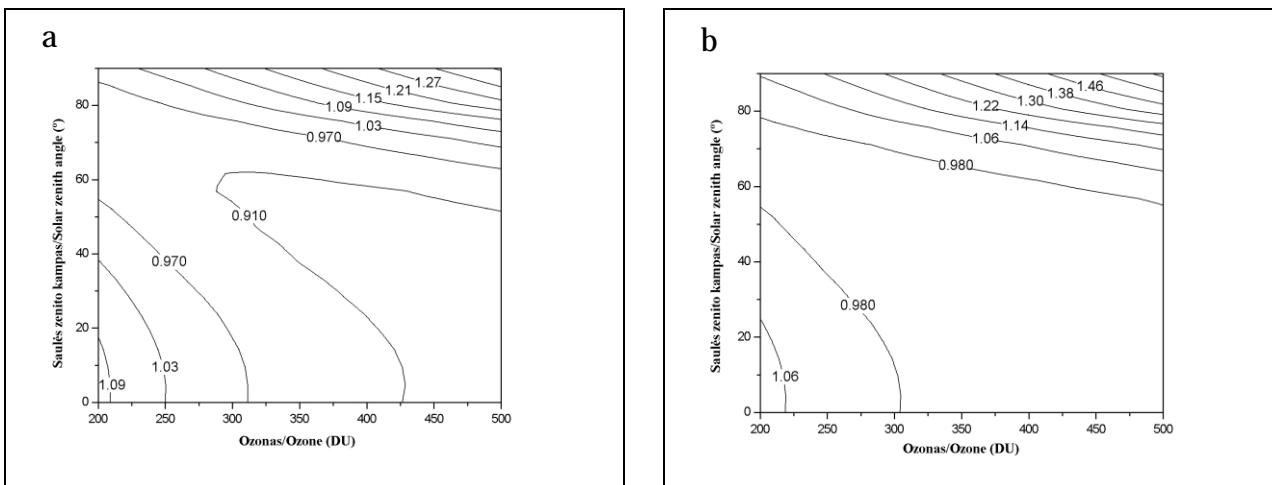
Siekiant ávertinti galimas paklaidas, apskaièiuotas nuokrypis tarp pagrindinës kalibracijos matricos ir matricø, gautø su maksimaliomis ir minimaliomis spektrinio jautrumo reikðmëmis.

Darbe buvo naudojami maksimalùs paros eritemiñs spinduliuotës dydþiai, kuriems atlikta kalibracija. Tad kiekvienam dydþiui, atsiþvelgus á tos dienos ozono koncentracijos reikðmæ bei UV spinduliuotës maksimalaus intensyvumo metu buvusá saulës zenito kampà, buvo pritaikoma atskira kalibracijos matricos reikðmë.



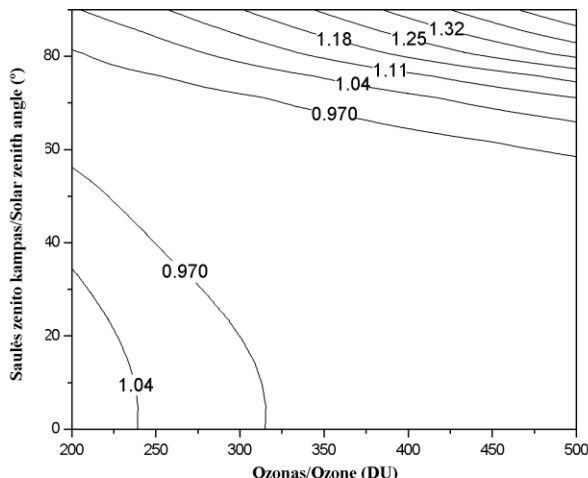
**4 pav.** Kalibracijos matrica, kai CONSTsl sudaryta esant ðioms atmosferos sàlygoms:  $O_3$  – 270DU,  $\theta_{\text{SUN}} < 30^\circ$ , AOD – 0,1, albedas – 3%; *a* – su maksimalia, *b* – minimalia spektrinio jautrumo reiksme

**Fig. 4.** Calibration matrix where CONSTsl was calculated for the following atmospheric characteristics:  $O_3$  – 270 DU,  $\theta_{\text{SUN}} < 30^\circ$ , AOD – 0,1, albedo – 3%, with maximal (*a*) and minimal (*b*) spectral sensitivity



**5 pav.** Kalibracijos matrica, kai CONSTsl sudaryta esant šioms atmosferos sąlygoms:  $O_3$  – 270 DU,  $\theta_{SUN} < 30^\circ$ , AOD – 0,2, albedas – 10%; *a* – su maksimalia, *b* – su minimalia spektrinio jautrumo reikšme

**Fig. 5.** Calibration matrix where CONSTsl was calculated for the following atmospheric characteristics:  $O_3$  – 270 DU,  $\theta_{SUN} < 30^\circ$ , AOD – 0,2, albedo – 10%, with maximal (*a*) and minimal (*b*) spectral sensitivity



**6 pav.** Pagrindinë kalibracijos matrica, kai CONSTsl sudaryta esant šioms atmosferos sąlygoms:  $O_3$  – 270 DU,  $\theta_{SUN} < 30^\circ$ , AOD – 0,2, albedas – 3%, su vidutine spektrinio jautrumo reikšme

**Fig. 6.** “Real” calibration matrix where CONSTsl was calculated for the following atmospheric characteristics:  $O_3$  – 270 DU,  $\theta_{SUN} < 30^\circ$ , AOD – 0,2, albedo – 3%, with average spectral sensitivity

Norint atlikti prietaiso kalibraciją, reikia įlinoti ne tik kalibracijos matricā, bet ir bendrą kalibracijos konstantą. Jutiklio jautrumas yra pateikiamas prietaiso pasei ir išreiškiamas ( $W/m^2$ )/V arba (MED/h)/V. Pasirinkus prielaidą, kad prietaisas metams bégant nepakeitė savo savybių, bendroji kalibracijos konstanta buvo gauta palyginus iðmatuotus ir ið kalibracijos matricos padaugintus dydžius su sumodeliuotais dydžiais. Tai buvo atliekama remiantis 2001–2002 m. giedromis dienomis iðmatuotais ir sumodeliuotais eriteminës spinduliuotës rodikliais. Ryðio grafike (8 pav.) pateiktas krypties koeficientas naudojamas kaip bendroji kalibracijos konstanta; toliau buvo atlikta pilna iðmatuotø rodikliø kalibracija: jie dauginami ið kalib-

racijos matricos ir bendrosios kalibracijos konstantos gauto dydžio.

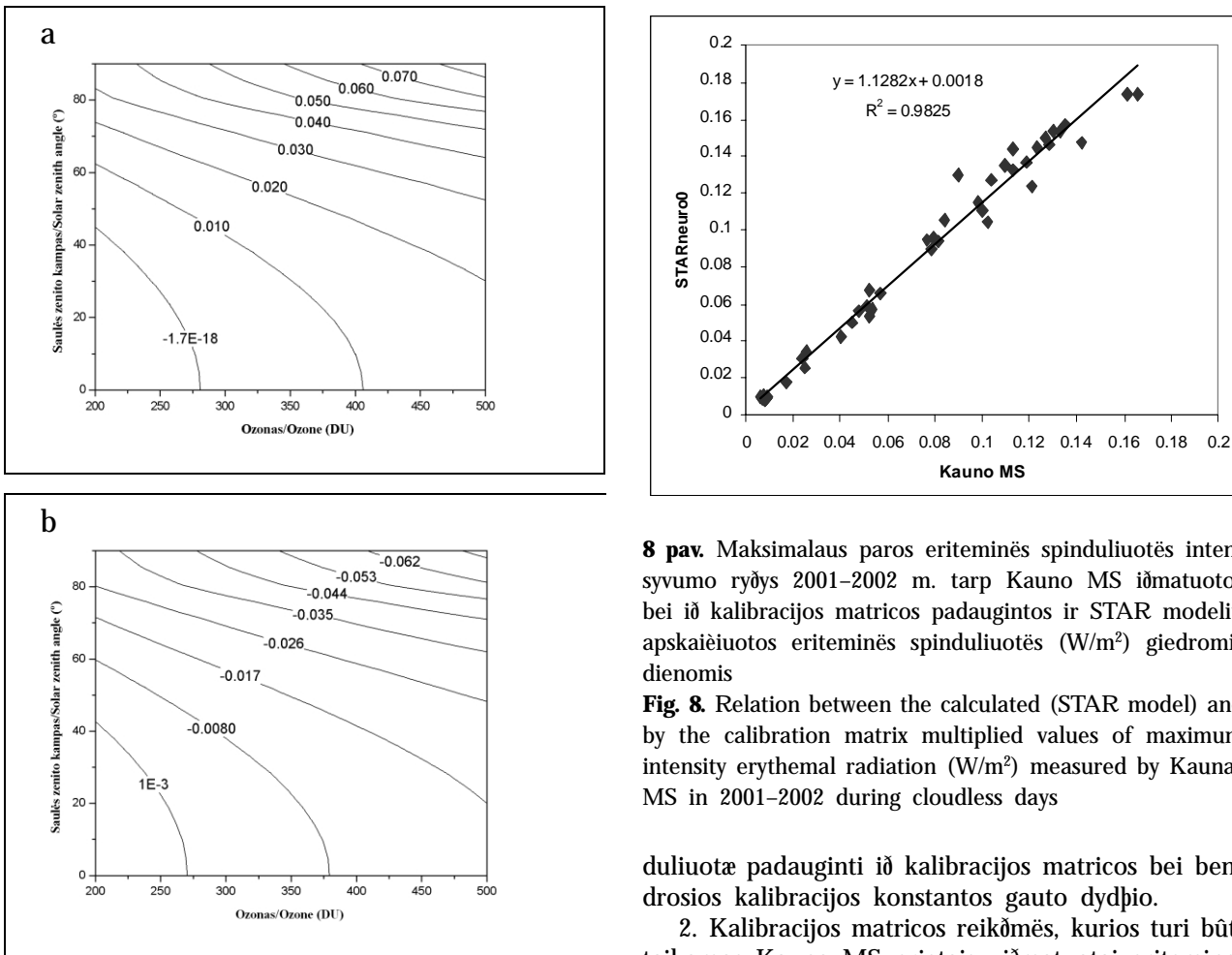
## KAUNO MS IÐMATUOTØ ERITEMINËS SPINDULIUOTËS RODIKLIØ KALIBRACIJA

Kalibracija buvo atliekama Kauno meteorologijos stotyje 2001–2002 m. iðmatuoimis eriteminës spinduliuotës paros maksimumo duomenims.

Apskaièiavus kalibracijos konstantà nustatyta, kad labiausiai iðsiskiria reikðmës, gautos esant vidutinëms Europai bûdingoms vasaros atmosferos sąlygoms. Taèiau prietaiso gamintojai pateikia, kad jutiklio kalibracija atliekama, kada saulës zenito kampus –  $< 30^\circ$  laipsniø, o ozono koncentracija – 270 DU, tad geriau naudoti šiuos saulës zenito kampo ir ozono koncentracijos dydþius. Tuo tarpu keièiamos albedo ir aerozoliø optinio tankio reikðmës didelës átakos neturi, nors tai ir buvo ávertinta sudarant kalibracijos matricà.

Palyginæ 3, 4 bei 5 paveikslus matome, kad besikeièianti albedo ir aerozoliø optinio tankio reikðmë kalibracijos matricai neturi didelio poveikio. Tad pagrindinë kalibracijos matrica buvo sudaryta su CONSTsl ir apskaièiuota esant šioms atmosferos sąlygoms:  $O_3$  – 270DU,  $\theta_{SUN} < 30^\circ$ , AOD – 0,2, albedas – 3 (esant abiems spektrinio jautrumo reikðmëms). Vëliau buvo skaièiuojamas vidurkis tarp maksimaliø ir minimaliø kalibracijos matricos reikðmiø ir sudaroma pagrindinë kalibracijos matrica.

Pagrindinës kalibracijos matricos reikðmës, kurios buvo taikomos iðmatuotai eriteminei spinduliuotei kalibruti, svyrusoja nuo 0,9 iki 1,55. Norint ávertinti paklaidas, kurios gali atsirasti, jei bûtø taikoma ne vidutinë spektrinio jautrumo reikðmë, buvo skaièiuojami nuokrypiai tarp pagrindinës matricos ir kalibracijos matricø su minimalia ir maksimalia spektrinio jautrumo reikðme (7 pav.). Abiem atvejais maksima-



**7 pav.** Nuokrypis tarp pagrindinės kalibracijos matricos bei matricos su maksimalia (a) ir minimalia spektrinio jautrumo reikšme (b)

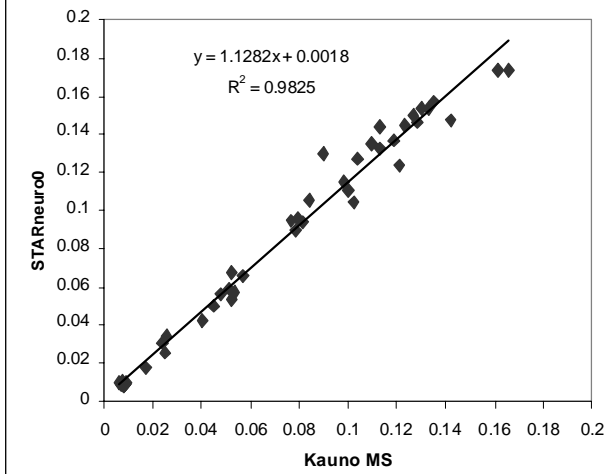
**Fig. 7.** Deviation between the “real” calibration matrix and the matrix with maximal (a) and minimal (b) spectral sensitivity

lus nuokrypis – apie 7%, jei saulės zenito kampus yra  $>80^\circ$ , o ozono koncentracija – apie 500 DU.

Kaip jau minėta, atliekant kalibraciją būtina įmomi ne tik kalibracijos matricą, bet ir bendrą kalibracijos konstantą. Ji buvo gauta palyginus iðmatuotus ir ið kalibracijos matricos padaugintus dydžius su su-modeliuotais dydžiais. Ryðio grafike gautas krypties koeficientas naudojamas kaip bendroji kalibracijos konstanta. Nustatyta, jog bendroji kalibracijos konstanta yra 1,1282 ir ið jos turëtø būti dauginami visi Kauno MS iðmatuoti ir ið kalibracijos matricoje gautos reikðmës padauginti dydžiai.

## IŠVADOS

1. Kauno MS iðmatuotos bei STARsci modeliu su-modeliuotos eriteminës spinduliuotës paros maksimumai giedromis dienomis skiriasi iki 10–15%. Norint gauti tikslius eriteminës spinduliuotës matavimø rezultatus, bûtina Kauno MS iðmatuotà eriteminë spin-



**8 pav.** Maksimalaus paros eriteminës spinduliuotës intensyvumo ryðys 2001–2002 m. tarp Kauno MS iðmatuotos bei ið kalibracijos matricos padaugintos ir STAR modeliu apskaiðiuotos eriteminës spinduliuotës ( $\text{W/m}^2$ ) giedromis dienomis

**Fig. 8.** Relation between the calculated (STAR model) and by the calibration matrix multiplied values of maximum intensity erythemal radiation ( $\text{W/m}^2$ ) measured by Kaunas MS in 2001–2002 during cloudless days

duliuotë padauginti ið kalibracijos matricos bei bendrosios kalibracijos konstantos gauto dydþio.

2. Kalibracijos matricos reikðmës, kurios turi bûti taikomos Kauno MS prietaisu iðmatuotai eriteminei spinduliuotei kalibrnuoti, svyruba nuo 0,9 iki 1,55 ir priklauso nuo bendro ozono kieko bei saulės zenito kampo. Bendroji kalibracijos konstanta yra lygi 1,1282.

3. Iðanalizavus paviršiaus albedo ir aerozoliø optinio tankio poveiká kalibracijos matricos sudarymui nustatyta, kad ðios parametras kaita jai nëra reikðmininga, tad ðie dydþiai gali bûti laikomi konstanta.

## PADËKA

Darbo autorai nuoðirdþiai dëkoja Hidrometeorologijos tarnybai uþ suteiktà galimybæ pasinaudoti Kauno meteorologijos stoties matavimø duomenimis, Miuncheno universiteto meteorologijos institutui uþ galimybæ atlkti dalá darbo tame ir naudotis STAR modeliu, taip pat visai UV spinduliuotës grupei uþ supratimà ir suteiktà pagalbà.

Gauta 2005 09 12  
Parengta 2005 09 28

## Literatûra

- Bais A. ir kt. (1999). Report of the LAP/COST/WMO intercomparison of erythemal radiometers. *WMO TD No. 1051*.

- Blum H. F. (1948) Sunlight as a causal factor in cancer of the skin of man. *Journal Natl Inst Cancer.* 9: 247–258.
- Bojkov R. ir kt. (1990). A statistical trend analysis of revised Dobson total ozon data over the Northern hemisphere, *Journal of Geophysic Resource.* 95: 9785–9807.
- Caldwell M. M. (1998). Effects of increased solar ultraviolet radiation on terrestrial ecosystems. *Journal of Photochemistry and Photobiology B: Biology.* 46: 40–52.
- De Gruji F. R., der Leun J. V. C. (1994). Estimate of the wavelength dependency of ultraviolet carcinogenesis in humans and its relevance to the risk assessment of a stratospheric ozone depletion. *Health Phys.* 67: 314–325.
- Elwood M. Jopson J. (1997). Melanoma and sun exposure: an overview of published studies. *Journal Cancer.* 73: 198–203.
- Hader D. ir kt. (1998). Effects on aquatic ecosystems. *Journal of Photochemistry and Photobiology B: Biology.* 46: 53–68.
- Kerr J. B., Seckmeyer G. (2003). Solar ultraviolet radiation: past and future. *Global ozone monitoring project.* 47: 46.
- Koepke P., Reuder J., Schwander H. (2002). Solar UV radiation and its variability due to the atmospheric components. *Transword Research Network.*
- Liukaitytë J., Rimkus E. (2004). Maksimalios eriteminës spinduliuotës prietakos modeliavimas STARsci modeiliu. *Geografija.* 40: 3–9.
- Longstreth J. ir kt. (1998). Health risk. *Journal of Photochemistry and Photobiology B: Biology.* 46: 20–39.
- McKinlay A. F., Diffey B. L. (1987). A reference action spectrum for ultra-violet induced erythema in human skin. *CIE Journal.* 6: 17–22.
- Neuendorfer A. C. (1996). Ozone monitoring with TIROS-N operational vertical sounders. *Journal of Geophysic Resource.* 101: 18807–18828.
- Riederschmid R. (1938). Zur Entwicklung der natuerlichen ultraviolettstrahlung. *Radiologica.* 2: 126–137.
- Schreder J. (2005). Standart calibration method ([www.schreder-cms.com](http://www.schreder-cms.com))
- Stolarski R. S. ir kt. (1991). Total ozone trends deduced from Nimbus 7 TOMS data. *Geophys. Res. Lett.* 18: 1015–1018.
- UV biometras. *Naudojimo vadovas* (2000). Red. R. Jonavièienë, J. Karkozas, Lietuvos HMT.
- WMO (1999). Scientific assessment of ozone depletion: 1998. *Global Ozone research and monitoring project. Report No. 44.* Geneva.

**Judita Liukaitytë, Egidijus Rimkus**

### APPLICATION OF THE STAR MODEL FOR CALIBRATION OF ERYTHEMAL RADIATION MEASURED AT KAUNAS METEOROLOGICAL STATION

#### Summary

The aim of the work was to make the calibration of quantities measured by the STARsci model, to make the calibration of the data measured at Kaunas MS in 2001–2002, to make the matrix of the calibration and to find the single calibration constant.

The problem was to get  $E_{SKY}$  from  $E_{SKYSL}$  values measured with a Solar Light instrument of unknown calibration. In the measurements it is not known whether the response of the instrument is maximum or minimum or inbetween, and also the cosine response only can be taken from the manual. Moreover, the absolute sensitivity is not known, either, since the manufacturer gives the measured results as absolute values but not as a value for the sensitivity. However, since the measured values are given as absolute, the first assumption is that  $CONST_{sl} = 1$  (as it is for  $CONST_{ery}$ ) and the sensitivities  $S_{slerymax}(\lambda)$  ir  $S_{slerymin}(\lambda)$  are absolute. But they are also normalized to 1.

The question is to determine the calibration matrix CAL which describes the difference or better the ratio between  $E_{sky}$  and  $E_{skysl}$ , i.e. the effects of the erythemal weighting function really used in the instrument and cosine response against the ideal erythemal CIE values and an ideal cosine response. Thus, the values  $CAL = E_{sky} / E_{skysl}$  had to be determined. This has been made for both max and min instrument response.

The main influence parameters for this ratio are the solar zenith angle and the ozone content. The solar zenith angle is significant with respect to cosine weighting but also to the spectral composition of the irradiance, and the ozone content shifts the intensity and thus is significant for spectral weighting.

After the analyzing the influence of albedo and aerosol optical density on the calibration matrix it has been established that the change of the parameters has nearly no influence on this matrix, therefore these quantities remain constant.

The ‘real’ values of calibration matrix which were applied for calibration of erythemal radiation measured by the Solar Light instrument ranged from 0.9 to 1.55. The single calibration constant that gives correction of the sensitivity of sensors is 1.1282.